



УДК 621.318.001.2

© 2008

Член-корреспондент НАН Украины А. Е. Божко

## О двухтактном электромагнитном вибростенде с полигармоническим управлением

*The possibility for the reproduction of polyharmonic vibrations on a two-stroke electromagnetic vibrobench is investigated.*

Двухтактные электромагнитные вибровозбудители (ДЭМВ) рассматриваются в работах [1–3]. Однако в них отсутствует решение задачи о воспроизведении ДЭМВ полигармонических вибраций. Известно [4, 5], что в эксплуатационных условиях транспортных средств вибрации представляют собой полигармонические процессы и поэтому испытания деталей, узлов и самих транспортных и других объектов на действие полигармонических вибраций позволяет более точно оценить надежность испытываемых изделий. В связи с этим важно знать поведение ЭМВ в системе испытательного стенда при подаче на его вход полигармонического сигнала

$$U(t) = \sum_{kj=1}^n U_{ak} \sin \omega_k t, \quad (1)$$

где  $U_{ak}$ ,  $\omega_k$  — амплитуда и круговая частота  $k$ -й гармоники соответственно;  $t$  — время;  $n$  — число гармоник.

В работе [4] изложены принципы и особенности воспроизведения полигармонических вибраций одноктактными электромагнитными вибраторами. В отличие от одноктактных ЭМВ, ДЭМВ воспроизводят управляющие сигналы в виде вибраций подвижных частей с теми же частотами, что и задающие входные напряжения [3]. А это значит, что на ДЭМВ стенде можно более точно воспроизводить необходимые гармонические воздействия. Но ДЭМВ с одной обмоткой и последовательным диодом с ней на каждом магнитопроводе не позволяет точно воспроизводить полигармонические вибрации [2]. Возникает вопрос: как быть? На наш взгляд, имеется, кроме нескольких магнитопроводов со своими обмотками, два варианта включения в ДЭМВ полигармонического сигнала. Схемы ДЭМВ, соответствующие этим вариантам, изображены на рис. 1, 2, где Я1, Я2 — якоря; М1, М2 — магнитопроводы; ПР1, ПР2 — пружины; Ш — штоки; К — корпус;  $\delta$  — воздушный зазор; О11–О1 $n$ ,

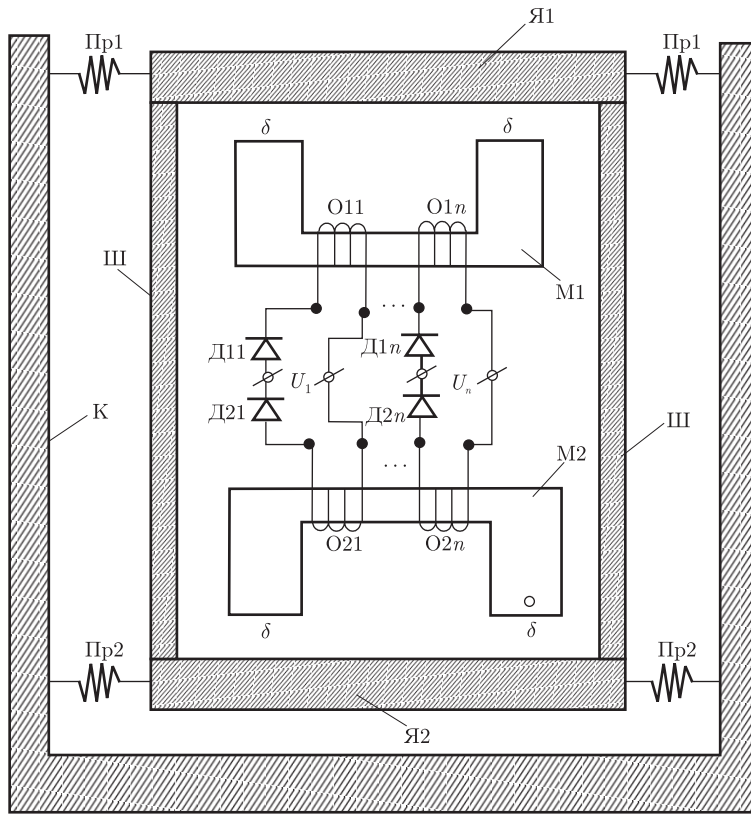


Рис. 1

$O_{21}–O_{2n}$  — электрические обмотки;  $U_1, U_n$  — гармонические электрические напряжения;  $Д_{11}–Д_{1n}, Д_{21}–Д_{2n}$  — диоды.

На рис. 2 приведена только схема соединения  $U_1–U_n$  с одной обмоткой на  $M_1$  и на  $M_2$ , в схеме на рис. 1 — несколько обмоток  $O_1 – O_n$ , а в схеме на рис. 2 — по одной обмотке на каждом магнитопроводе, но имеется два сумматора —  $СМ_1$  и  $СМ_2$ .

Принцип функционирования электрических и магнитных цепей в этих вариантах ДЭМВ разный. В первом варианте по каждой обмотке  $O_k, k = \overline{1, n}$ , идет ток  $i_k(t)$ , который в силу закона полного тока [5]

$$i_k w_k G = \Phi_k, \quad (2)$$

где  $w_k$  — число витков обмотки  $O_k$ ;  $G = \mu_0 S / (2\delta)$  — магнитная проводимость ЭМВ;  $\mu_0$  — магнитная проницаемость воздуха;  $S$  — площадь поперечного сечения магнитопровода, создает магнитный поток  $\Phi_k$ . Суммарный магнитный поток  $\Phi_\Sigma = \sum_{k=1}^n \Phi_k$  создает в одну полуволну  $i_k(t)$  тяговое усилие  $F_{1\Sigma}$ , а во вторую — тяговое усилие  $F_{2\Sigma}$ , которые заставляют вибрировать систему якорей  $Я_1 + Я_2 + 2Ш$ , находящиеся на пружинах  $2Пр_1, 2Пр_2$ .

Во втором варианте в один полупериод  $U_k, k = \overline{1, n}$ , с выхода  $СМ_1$  на обмотку  $O_1$  поступает  $\sum_{k=1}^n U_k \Big|_0^{T_k/2}$ , где  $T$  — период  $k$ -й гармоники, создающей в  $O_1$  электрический ток

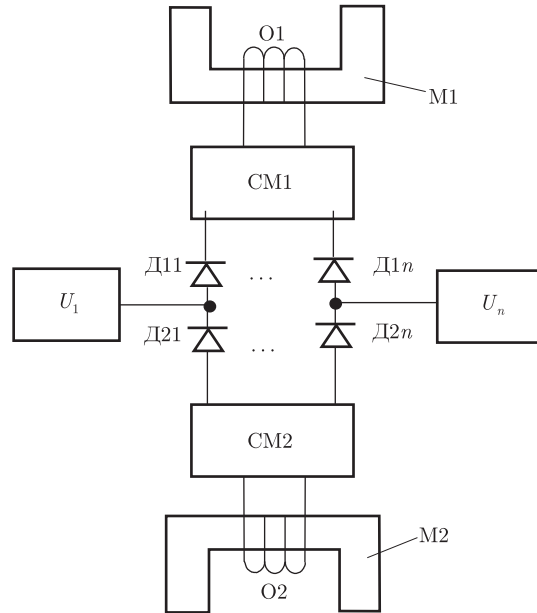


Рис. 2

$\sum_{k=1}^n i_k \Big|_0^{T_k/2}$ , который, в свою очередь, в магнитной системе ЭМВ1 наводит магнитный поток  $\Phi_{1\Sigma} = \sum_{k=1}^n \Phi_{1k} \Big|_0^{T_k/2}$ , обуславливающий возникновение тягового усилия  $F_{1\Sigma}$ , а во втором полупериоде —  $\sum_{k=1}^n U_k \Big|_0^{T_k/2}$  в O2 создается  $\sum_{k=1}^n i_k \Big|_0^{T_k/2}$ ,  $\Phi_{2\Sigma} = \sum_{k=1}^n \Phi_{2k} \Big|_0^{T_k/2}$  и  $F_{2\Sigma}$ . В результате действия  $F_{1\Sigma}$  и  $F_{2\Sigma}$  якорная система Я1 + Я2 + 2Ш вибрирует.

Представим математическую интерпретацию рассматриваемых вариантов ДЭМВ. В соответствии с [3] тяговое усилие ДЭМВ в каждый полупериод  $U_k(t) = U_{ak} \sin \omega_k t$  при  $k = 1$  определяется по формуле

$$F_k(t) = \frac{U_{ak}^2}{4\omega_k^2 w_k^2 \mu_0 S} (1 - \cos \omega_k t). \quad (3)$$

Как видно из (3), тяговое усилие  $F_k$  имеет постоянную составляющую

$$F_{0k} = \frac{U_{ak}^2}{4\omega_k^2 w_k^2} \mu_0 S$$

и переменную

$$F_{nk} = \frac{-U_{ak}^2 \cos \omega_k t}{4\omega_k^2 w_k^2 \mu_0 S}.$$

Но так как в каждый полупериод  $U_k$ ,  $F_k$  противоположны, то  $F_{0k1}$  компенсируется  $F_{0k2}$ , и этим самым происходят колебания подвижной системы ДЭМВ под действием  $F_{k1}$  и  $F_{k2}$ . Однако при полигармоническом управлении (1) ДЭМВ происходят в последнем процессы, несколько отличающиеся от ДЭМВ с моногармоническим управлением  $U = U_a \sin \omega t$ .

Так, в первом варианте (см. рис. 1) уравнение для тока в  $k$ -й обмотке следующее [4]:

$$i_k + \frac{w_k}{w_l \omega_k} \frac{d^2 i_k}{dt^2} = \frac{U_k}{\omega_k L_k} - \frac{1}{w_k} \sum_{\substack{l=1 \\ l \neq k}}^n \frac{w_l}{\omega_l} \frac{d}{dt} \left( \frac{U_l}{\omega_l L_l} - \frac{1}{w_l} \sum_{\substack{m=2, \\ m \neq l \\ l \neq k}}^n \frac{w_m}{\omega_m} \frac{d i_m}{dt} \right), \quad k = \overline{1, n}. \quad (4)$$

Интегрирование (4) осуществляется в течение каждого полупериода  $k, l, m$ -гармоник. Поэтому при использовании (2) получаем выражение тягового усилия в каждый полупериод с учетом работ [3, 5] в виде

$$F_{I,II} = \frac{1}{\mu_0 S} \left\{ \sum_{k=1}^n \frac{\Phi_{ak}^2}{2} (1 - \cos \omega_k t) + \sum_{\substack{k=1, l=1 \\ k \neq l}}^{C_n^2} \Phi_{ak} \Phi_{al} \left[ \cos \left( \frac{\omega_k - \omega_l}{2} \right) t - \cos \left( \frac{\omega_k + \omega_l}{2} \right) t \right] \right\}, \quad (5)$$

где  $C_n^2 = n(n-1)/2$  — число сочетаний из  $n$  по два.

Как видно из (5), в  $F_I$  и  $F_{II}$  присутствуют постоянные составляющие

$$F_{I,II}(0) = \frac{1}{\mu_0 S} \sum_{k=1}^n \frac{\Phi_{ak}^2}{2},$$

которые направлены противоположно друг другу, компенсируя этим самым постоянное смещение подвижной части, т. е. постоянное смещение якоря  $Я1 + Я2$   $x_{я0} = 0$ . Кроме того, из (5) также видно, что в  $F_I$  и  $F_{II}$  присутствуют переменные гармонические составляющие с частотами  $\omega_k, (\omega_k - \omega_l)/2, (\omega_k + \omega_l)/2$ . Число частот  $\omega_k$  равно  $n$ , а других частот  $C_n^2 = n(n-1)/2$ .

Во втором варианте (см. рис. 2), согласно [4], тяговые усилия в каждый полупериод  $F_I$  и  $F_{II}$  описываются тем же выражением (5) и обладают упомянутыми ранее свойствами. Исходя из того, что обычно в ЭМВ индуктивное сопротивление  $x_L = \omega L$  значительно больше активного сопротивления  $r$ , амплитуда тока  $I_{ak} = U_{ak}/(\omega_k w_k)$  и с учетом (2) в выражении (5) будут  $\Phi_{ak} = U_{ak}/(\omega_k w_k)$ ,  $\Phi_{al} = U_{al}/(\omega_l w_l)$ . Подвижная часть ДЭМВ по рис. 1, являясь колебательной системой, описывается уравнением

$$m_{я} \frac{d^2 x}{dt^2} + b_{я} \frac{dx}{dt} + c_{я} x = F_{I,II}, \quad (6)$$

где  $m_{я}$  — масса;  $b_{я}, c_{я}$  — коэффициенты диссипации и упругости соответственно.

Правая часть  $F_{I,II}$  в (6) обозначает то, что в один полупериод действует  $F_I$ , притягивая  $Я1 + Я2$  к  $M1$ , а во второй полупериод действует  $F_{II}$ , притягивая  $Я1 + Я2$  к  $M2$ . Этим самым получаются гармонические колебания подвижной системы совместно с испытуемым объектом в виде

$$x(t) = \sum_{k=1}^n x_{ak1} \cos(\omega_k t - \varphi_{xk1}) + \sum_{\substack{k=1, l=1 \\ k \neq l}}^{C_n^2} x_{ak2} \left\{ \cos \left[ \frac{1}{2}(\omega_k - \omega_l) - \varphi_{xk2} \right] - \cos \left[ \frac{1}{2}(\omega_k + \omega_l) - \varphi_{xk3} \right] \right\}, \quad (7)$$

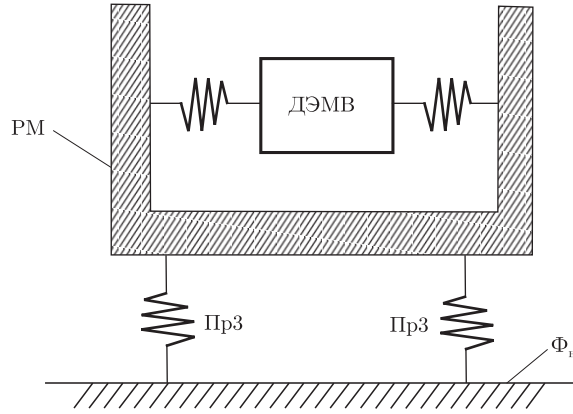


Рис. 3

где  $x_{ak1}$ ,  $x_{ak2}$  — амплитуды гармонических колебаний Я1 + Я2;  $\varphi_{xk}$  — угол сдвига перемещения  $x_k(t)$  относительно  $F_k(t)$ . В (7) величины  $x_{ak1,2}$  и  $\varphi_{xk}$  определяются соотношениями [6]

$$x_{ak1,2} = \frac{F_{a1,II}}{m_{я} \sqrt{(\omega_k^2 - \omega_{0я}^2)^2 + \left(\frac{b_{я}\omega_k}{m_{я}}\right)^2}}, \quad (8)$$

$$\left. \begin{aligned} \varphi_{xk1} &= \arctg \frac{\omega_k b_{я}}{m(\omega_k^2 - \omega_{0я}^2)}, \\ \varphi_{xk2} &= \arctg \frac{(\omega_k - \omega_l) b_{я}}{m_{я}[(\omega_k - \omega_l)^2 - \omega_{0я}^2]}, \\ \varphi_{xk3} &= \arctg \frac{(\omega_k + \omega_l) b_{я}}{m_{я}[(\omega_k + \omega_l)^2 - \omega_{0я}^2]}, \end{aligned} \right\} \quad (9)$$

$\omega_{0я}^2 = \sqrt{c_{я}/m_{я}}$  — собственная частота колебаний подвижной системы ДЭМВ.

В электромагнитных вибростендах с целью уменьшения влияния колебаний (Я1 + Я2) на фундамент встраивают реактивную массу РМ, соединенную с (Я1 + Я2) пружинами, и так же — пружинами с корпусом. В нашем случае (см. рис. 1) корпус К может служить реактивной массой и ее можно соединить с фундаментом через дополнительные пружины (см. рис. 3), где  $\Phi_n$  — фундамент. Подвижная часть ДЭМВ с РМ представляет собой колебательную систему (КС) с двумя степенями свободы. Механическая схема этой КС изображена на рис. 4, где  $m_{я}$  — масса (Я1 + Я2);  $m_p$  — масса РМ;  $c_{я}$ ,  $c_p$  — коэффициенты жесткости;  $b_{я}$ ,  $b_p$  — коэффициенты диссипации;  $x_{я}$ ,  $x_p$  — перемещение  $m_{я}$  и  $m_p$  соответственно;  $F$  — тяговое усилие.

Уравнения движения этой КС следующие:

$$\left. \begin{aligned} m_{я} \frac{d^2 x_{я}}{dt^2} + b_{я} \frac{dx_{я}}{dt} + c_{я} x_{я} &= F + b_{я} \frac{dx_p}{dt} + c_{я} x_p, \\ m_p \frac{d^2 x_p}{dt^2} + (b_{я} + b_p) \frac{dx_p}{dt} + (c_{я} + c_p) x_p &= b_{я} \frac{dx_{я}}{dt} + c_{я} x_{я}. \end{aligned} \right\} \quad (10)$$

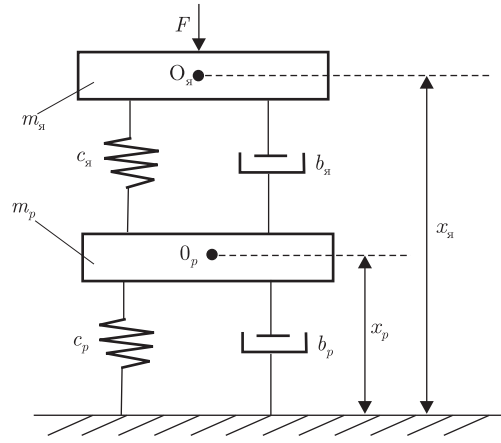


Рис. 4

Данная КС является линейной. Поэтому к ней может быть применен принцип суперпозиции и тогда при  $F_I, F_{II}, F_{I,II}(0)$

$$x_{\text{я}} = \sum_{l=1}^{\tau} x_{k1} + \sum_{\substack{k=1, l=1 \\ k \neq l}}^{C_n^2} x_{k2}. \quad (11)$$

Подставляя (7) в (10), получим

$$\begin{aligned} m_{\text{я}} \left( \sum_{k=1}^n \frac{d^2 x_{\text{я}k1}}{dt^2} + \sum_{\substack{k=1, l=1 \\ k \neq l}}^{C_n^2} \frac{d^2 x_{\text{я}k2}}{dt^2} \right) + b_{\text{я}} \left( \sum_{k=1}^n \frac{dx_{\text{я}k1}}{dt} + \frac{dx_{\text{я}k2}}{dt} \right) + \\ + c_{\text{я}} \left( \sum_{k=1}^n x_{\text{я}k1} + \sum_{\substack{k=1, l=1 \\ k \neq l}}^{C_n^2} x_{\text{я}k2} \right) = \sum_{l=1}^{\tau} F_{k1} + \sum_{\substack{k=1, l=1 \\ k \neq l}}^{C_n^2} F_{k2} + \\ + b_{\text{я}} \left( \sum_{k=1}^n \frac{dx_{\text{п}k1}}{dt} + \sum_{\substack{k=1, l=1 \\ k \neq l}}^{C_n^2} \frac{dx_{\text{п}k2}}{dt} \right) + c_{\text{я}} \left( \sum_{k=1}^n x_{\text{п}k1} + \sum_{\substack{k=1, l=1 \\ k \neq l}}^{C_n^2} x_{\text{п}k2} \right), \quad (12) \\ m_{\text{п}} \left( \sum_{k=1}^n \frac{d^2 x_{\text{п}k1}}{dt^2} + \sum_{\substack{k=1, l=1 \\ k \neq l}}^{C_n^2} \frac{d^2 x_{\text{п}k2}}{dt^2} \right) + (b_{\text{я}} + b_{\text{п}}) \left( \sum_{k=1}^n \frac{dx_{\text{п}k1}}{dt} + \frac{dx_{\text{п}k2}}{dt} \right) + \\ + (c_{\text{я}} + c_{\text{п}}) \left( \sum_{k=1}^n x_{\text{п}k1} + \sum_{\substack{k=1, l=1 \\ k \neq l}}^{C_n^2} x_{\text{п}k2} \right) = \\ = b_{\text{я}} \left( \sum_{k=1}^n \frac{dx_{\text{я}k1}}{dt} + \sum_{\substack{k=1, l=1 \\ k \neq l}}^{C_n^2} \frac{dx_{\text{я}k2}}{dt} \right) + c_{\text{я}} \left( \sum_{k=1}^n x_{\text{я}k1} + \sum_{\substack{k=1, l=1 \\ k \neq l}}^{C_n^2} x_{\text{я}k2} \right). \end{aligned}$$

Здесь

$$\begin{aligned}x_{як1}(t) &= x_{аяк1} \cos(\omega_k t - \varphi_{як1}), \\x_{як2}(t) &= x_{аяк2} \{ \cos[(\omega_k - \omega_l)t - \varphi_{як2}] - \cos[(\omega_k + \omega_l)t - \varphi_{як2}] \}, \\x_{рк1}(t) &= x_{арк1} \cos(\omega_k t - \varphi_{рк1}), \\x_{рк2}(t) &= x_{арк2} \{ \cos[(\omega_k - \omega_l)t - \varphi_{рк2}] - \cos[(\omega_k + \omega_l)t - \varphi_{рк2}] \},\end{aligned}$$

где амплитуды  $x_{аяк1,2}$ ,  $x_{арк1,2}$  и углы  $\varphi_{xki}$ ,  $x_{pki}$ ,  $i = 1, 2$ , могут определяться по формулам (8), (9). При этом в этих формулах для амплитуд  $x_{аяки}$ ,  $x_{арки}$ ,  $i = 1, 2$ , должны включаться соответствующие амплитуды воздействий, представленных в (12), а для  $x_{арки}$ ,  $i = 1, 2$ , в знаменателе должны быть  $b_я + b_p$ . Также выражение  $b_я + b_p$  должно фигурировать в формуле, соответствующей (9) для  $\varphi_{рки}$ ,  $i = \overline{1, 2}$ .

Как было отмечено ранее, возможно проектирование ДЭМВ с несколькими электромагнитами (ЭМ), действующими на один якорь (Я). В этом случае, согласно работам [3, 4], тяговое усилие определяется суммой индивидуальных тяговых усилий в виде

$$F_k = \frac{1}{2\mu_0 S_k} \sum_{k=1}^n \left( \frac{U_{ak}}{\omega_k w_k} \right)^2 [1 - \cos(\omega_k t - \varphi_k)]. \quad (13)$$

Из (13) видно, что в тяговом усилии якоря, а также далее в его колебаниях присутствуют только заданные гармоники.

Данное конструктивное решение в проектировании ДЭМВ более громоздкое и дорогостоящее по сравнению с представленными, но жизнеспособно. Рассмотренные теоретические исследования прошли экспериментальную проверку в Институте проблем машиностроения им. А. Н. Подгорного НАН Украины и полностью были подтверждены правильностью решения.

1. *Вибрации в технике: В 4-х т. / Под ред. Э. Э. Лавенделла.* – Москва: Машиностроение, 1981. – Т. 4. – 510 с.
2. *Божко А. Е., Мякохлеб К. Б.* О некоторых особенностях двухтактных электромагнитных вибровозбудителей // Доп. НАН України. – 2005. – № 5. – С. 76–80.
3. *Божко А. Е., Личкатый Е. А., Мякохлеб К. Б.* О двухтактном электромагнитном вибровозбудителе // Там само. – 2006. – № 5. – С. 90–93.
4. *Божко А. Е.* Принципы и особенности воспроизведения полигармонических вибраций электромагнитными вибраторами // Пробл. машиностроения. – 2004. – 7, № 2. – С. 32–38.
5. *Бессонов Л. А.* Теоретические основы электротехники. – Москва: Высш. шк., 1978. – 528 с.
6. *Божко А. Е., Голуб Н. М.* Динамико-энергетические связи колебательных систем. – Киев: Наук. думка, 1980. – 188 с.

*Институт проблем машиностроения  
им. А. Н. Подгорного НАН Украины, Харьков*

*Поступило в редакцию 14.08.2007*